

## РАДИАЦИОННЫЕ ДЕФЕКТЫ В КРЕМНИИ, ОБЛУЧЕННОМ $\alpha$ -ЧАСТИЦАМИ ПРИ НИЗКОЙ ТЕМПЕРАТУРЕ

Л. С. Берман, А. М. Иванов, М. Л. Павлова,  
А. Д. Ременюк, Н. Б. Строкан

Физико-технический институт им. А. Ф. Иоффе Российской академии наук,  
194021, Санкт-Петербург, Россия  
(Получена 21 апреля 1993 г. Принята к печати 21 апреля 1993 г.)

Сравнивается образование и отжиг радиационных дефектов в  $n$ -кремнии ( $\rho = 15 \Omega \cdot \text{см}$ ), облученном при 170 и 300 К  $\alpha$ -частицами с энергией 5 МэВ, с интенсивностью  $2.5 \cdot 10^6 \text{ см}^{-2} \cdot \text{s}^{-1}$ , дозой  $2.5 \cdot 10^{11} \text{ см}^{-2}$ . Концентрация радиационных дефектов измерялась емкостным методом в слое 1.4—6.0 мкм от поверхности образца, где средняя энергия  $\alpha$ -частиц равна 4 МэВ.

В интервале температур 170—300 К как для  $n$ -Si (Cz), так и для  $n$ -Si (fz) скорости введения A-центров близки и незначительно зависят от температуры; концентрация вакансий определяется не аннигиляцией пар Френкеля, а их взаимодействием с примесями и дефектами структуры. Оценивается порядок образования пары Френкеля  $\alpha_{fr} \geq 0.1 \cdot 10^{-24} \text{ см}^2$ .

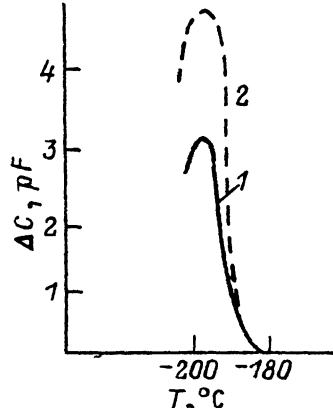
В настоящее время имеется ряд работ по исследованию радиационных дефектов (РД) в кремнии, облученном  $\alpha$ -частицами при температурах, близких к комнатным [1—7]. Результаты этих работ позволяют сделать следующие выводы: 1) основные радиационные дефекты, образующиеся при облучении  $\alpha$ -частицами с энергией 5—25 МэВ и электронами с энергией порядка нескольких МэВ, идентичны; 2) скорость введения дивакансий и суммарная скорость введения комплекса вакансия—кислород VO (A-центр) и комплекса узельный углерод—межузельный углерод ( $C_i—C_s$ ) не зависит от концентраций кислорода  $N_O$  (при  $2 \cdot 10^{16} \text{ см}^{-3} < N_O < 5 \cdot 10^{17} \text{ см}^{-3}$ ) и фосфора  $N_P$  (при  $10^{16} \text{ см}^{-3} > N_P > 5 \cdot 10^{13} \text{ см}^{-3}$ ) [4].

В настоящей работе сравниваются образование и отжиг радиационных дефектов в кремнии, облученном  $\alpha$ -частицами с энергией 5 МэВ при  $T \approx 300$  и  $T \approx 170$  К.

### Образцы

Образцы были изготовлены из пластин  $n$ -кремния. Барьер Шоттки создавался путем напыления Al в вакууме ( $T \approx 100^\circ\text{C}$ ). Омический контакт с противоположной стороны пластины создавался путем напыления Al в вакууме и его вжигания ( $T = 500^\circ\text{C}$ ,  $t = 10$  мин). Исследования были выполнены на образцах следующих двух групп: 1-я группа —  $n$ -Si (fz),  $N_P = 3 \cdot 10^{14} \text{ см}^{-3}$ ,  $N_O \sim 10^{16} \text{ см}^{-3}$ , 2-я группа —  $n$ -Si (Cz),  $N_P = 3 \cdot 10^{14} \text{ см}^{-3}$ ,  $N_O \sim 5 \cdot 10^{17} \text{ см}^{-3}$ .

Образцы облучались со стороны барьера Шоттки неколлимированным пучком  $\alpha$ -частиц со средней энергией 5.5 МэВ (длина пробега в кремнии  $\approx 27$  мкм) при температурах 300 и 170 К. Интенсивность источника  $2.5 \cdot 10^6 \text{ см}^{-2} \cdot \text{s}^{-1}$ , доза облучения  $2.5 \cdot 10^{11} \text{ см}^{-2}$ . Образцы 1-й и 2-й групп облучались попарно таким образом, чтобы они находились в одинаковых условиях облучения. После облучения и между всеми измерениями образцы хранились в жидком азоте.



## Методика измерений

Концентрация легирующей примеси определялась по зависимости  $C^{-2}(V)$ . Спектр радиационных дефектов и их концентрации определялись методом DLTS [8]. Измерительная установка описана в [9]. Сигнал регистрировался после переключения обратного напряжения на образце от 0.5 до 10 В, что соответствует измерению средней концентрации радиационных дефектов в слое 1.4—6 мкм от поверхности образца.

## Результаты измерений и их обсуждение

При охлаждении необлученных образцов от 300 до 80 К (при 10 В без заполняющих импульсов) их емкость уменьшилась менее, чем на 5%, что соответствует емкости запертого  $p-n$ -перехода [10], а их активная проводимость уменьшилась приблизительно в 3 раза, что объясняется увеличением подвижности основных носителей заряда в базе. Эти результаты свидетельствуют о незначительном влиянии сопротивления контакта к базе в указанном интервале температур. Отметим, что указанные в [11] трудности создания омического контакта к базе были обусловлены высоким удельным сопротивлением кремния и в нашем случае отсутствовали.

До облучения концентрация остаточных глубоких центров не превышала  $5 \cdot 10^{10} \text{ см}^{-3}$ . На рисунке приведен сигнал LDTS в интервале температур 70—90 К для образца 1-й группы, облученного при 170 К. Пик 1 (сплошная линия) соответствует радиационному дефекту с уровнем  $E_c = 0.17$  эВ ( $A$ -центр—комплекс VO). В интервале температур 90—200 К имеется также пик, соответствующий уровню дивакансии  $E_c = 0.23$  эВ, и пик, соответствующий наложению уровня дивакансии  $E_c = 0.4$  эВ и уровня  $E$ -центра  $E_c = 0.43$  эВ (на рисунке не показаны). Для образцов обеих групп спектры DLTS и скорости введения соответствующих радиационных дефектов (в частности  $A$ -центров) близки (см. таблицу).

Далее был произведен отжиг всех образцов. Известно, что при отжиге при 70—80 °C в течение  $t > 2$  ч межузельный углерод  $C_i$ , образовавшийся в ходе облучения, полностью переходит в комплекс межузельный углерод—узельный

Пик	$N_{PD} \cdot 10^{-12} \text{ см}^{-3}$ при облучении при 170 К					
	1-я группа			2-я группа		
	Сразу после облучения	Отжиг, 75° C	Отжиг, 280° C	Сразу после облучения	Отжиг, 75° C	Отжиг, 280° C
Широкий пик вблизи $E_c = 0.4$ эВ $E_c = 0.23$ эВ $E_c = 0.17$ эВ	6 5.2 16.3	5.8 3.3 25.2	2.4 3 16.7	4.9 4.5 20	3.9 4 19.3	3 1.5 20
$E_c = 0.17$ эВ	При облучении при 300 К той же дозой					
	20	32	22	18	18	18

углерод  $C_i - C_s$  и в  $K$ -центр, причем в  $Si (fz)$  преобладает первый процесс, а в  $Si (Cz)$  — второй [12–16]; для  $A$ -центра и для  $C_i - C_s$  сигналы DLTS близки. Известно также, что при отжиге при  $T = 280^\circ\text{C}$  в течение 3 ч дефект  $C_i - C_s$  полностью отжигается. Исходя из этих соображений были выбраны режимы отжига: № 1 —  $75^\circ\text{C}$ , 2 ч; № 2 —  $280^\circ\text{C}$ , 3 ч.

После отжига № 1 амплитуда пика DLTS в образцах 1-й группы возросла в 1.5 раза, а в образцах 2-й группы не изменилась. Этот результат объясняется переходом  $C_i$  в  $C_s$  в образцах 1-й группы аналогично процессу, имеющему место в кремнии, облученном при комнатной температуре электронами [12–15] или  $\alpha$ -частицами [4].

После отжига № 2 амплитуда пика DLTS в образцах 1-й группы уменьшилась до первоначальной величины, а в образцах 2-й группы не изменилась. Этот результат объясняется отжигом  $C_i - C_s$  в образцах 1-й группы.

Были выполнены контрольные измерения. Образцы обеих групп были облучены при комнатной температуре, в остальном условия облучения те же. Результаты измерений после облучения и отжигов приведены в таблице. Видно, что в образцах обеих групп скорости введения  $A$ -центров близки и незначительно зависят от температуры облучения. В образцах 1-й группы образование комплекса  $C_i - C_s$  также незначительно зависит от температуры облучения. Заметим для сравнения, что в  $n-Si (Cz)$  и  $n-Si (fz)$ , облученных при  $T \approx 300$  К электронами ( $E \sim 1$  МэВ,  $I \leq 10^{15} \text{ см}^{-2} \cdot \text{с}^{-1}$ ),  $\nu_A$  также одного порядка [14, 17–19].

Наши результаты и упомянутые литературные данные могут быть объяснены на основе модели образования радиационных дефектов [20, 21]. Скорость изменения концентрации вакансий в нашем случае определяется из выражения

$$\frac{dV}{dt} = \sigma_{FP} J N - \gamma_{FP} V I - \sum_i \gamma_i N_i V, \quad (1)$$

где

$$\sum_i \gamma_i N_i = \gamma_o N_o + \gamma_c N_c + \gamma_p N_p + \gamma_d N_d \quad (2)$$

Здесь  $\sigma_{FP}$  — сечение образования пар Френкеля;  $J$  — интенсивность облучения;  $N$  — концентрация атомов полупроводника;  $V, I$  — концентрация вакансий и межузлий;  $\gamma_{FP}$  — константа взаимодействия вакансий и межузлий;  $\gamma_o, \gamma_p, \gamma_d$  — константы взаимодействия вакансий с атомарным кислородом, фосфором и дефектами, являющимися стоками для вакансий;  $\gamma_c$  — константа взаимодействия межузлий с узельным углеродом;  $N_o, N_p, N_c, N_d$  — концентрации атомарного кислорода, фосфора, узельного углерода и стоков для вакансий.

В стационарных условиях облучения  $dV/dt$  (1) обращается в 0.

Рассмотрим случай, когда выполняется неравенство

$$\sum_i \gamma_i N_i < \gamma_{FP} I, \quad (3)$$

соответствующее высокой интенсивности облучения и (или) малым  $N_o, N_p, N_c$  и  $N_d$ . Тогда из (1), принимая  $V \approx I$ , получаем

$$V = \sqrt{\sigma_{FP} J N / \gamma_{FP}}. \quad (4)$$

Неравенство (3) и выражение (4) означают, что концентрация вакансий определяется аннигиляцией пар Френкеля. Выражение (4) аналогично (6.45) работает [21]. Из (1) и (4) определяем скорость введения  $A$ -центров

$$v_A = N_A/Jt = \gamma_O N_O \sqrt{\sigma_{FP} N / \gamma_{FP} J} .$$

(5)

Выражения для скоростей введения  $E$ -центров  $v_E$  и межузельного углерода  $v_{C_i}$  могут быть получены из (5) путем замены  $\gamma_O N_O$  соответственно на  $\gamma_P N_P$  и  $\gamma_C N_C$ .

Из (5) следует, что  $v_A$  пропорционально  $N_O$  и  $J^{-0.5}$ , однако из наших результатов следует, что при  $\alpha$ -облучении для Si (fz) и Si (Cz)  $v_A$  близки. Следовательно, даже для Si (fz) при высокой концентрации  $V$  и  $I$  неравенство (3) не выполняется.

Рассмотрим далее случай, когда выполняется неравенство

$$\sum_i \gamma_i N_i \gg \gamma_{FP} I, \quad (6)$$

которое означает, что концентрация вакансий определяется их взаимодействием с примесями. В этом случае  $v_A$  определяется из выражения

$$v_A = \frac{\gamma_O N_O \sigma_{FP} N}{\sum_i \gamma_i N_i} . \quad (7)$$

Выражения для скоростей введения  $E$ -центров  $v_E$  и межузельного углерода  $v_{C_i}$  могут быть получены из (7) путем замены  $\gamma_O N_O$  соответственно на  $\gamma_P N_P$  или на  $\gamma_C N_C$ . Рассмотрев выражение (7), можно сделать следующий вывод: если для одного из слагаемых, входящих в  $\sum_i$ , выполняется неравенство  $\gamma_i N_i \ll \sum_i$ , то

скорость введения комплекса вакансии с этой примесью пропорциональна концентрации примеси, однако коэффициент пропорциональности зависит от концентрации других примесей.

Из результатов данной работы и работ [4, 14, 22] следует, что в  $n$ -Si (fz), облученном  $\alpha$ -частицами или электронами, концентрации  $A$ -центров и  $C_i-C_s$  одного порядка. Известно также, что в Si (fz) концентрации  $C_i$  (сразу после облучения) и  $C_i-C_s$  (после отжига 70–80 °C,  $t > 2$  ч) одного порядка [12, 13, 16, 23–25]. Следовательно,  $v_A$  и  $v_{C_i}$  также одного порядка. Далее, из наших экспериментальных данных следует неравенство  $\gamma_P N_P < \gamma_O N_O$ . Таким образом, для образцов 1-й группы значения  $\gamma_O N_O$  и  $\sum_i$  одного порядка, а скорость введения

$A$ -центров  $v_A$  порядка  $\sigma_{FP} N$ , но меньше  $\sigma_{FP} N$ . С увеличением концентрации кислорода значение  $v_A$  возрастает, стремясь в пределе к  $\sigma_{FP} N$ . Это позволяет оценить нижний предел и порядок  $\sigma_{FP}$ . В слое 1.4–6.0 мкм от поверхности образца энергия  $\alpha$ -частиц в этом эксперименте  $\epsilon \approx 4$  МэВ; для образцов 2-й группы скорость введения  $A$ -центров (усредненная по площади образца)  $v_A = 0.8 \cdot 10^{-2}$  см<sup>-1</sup>. Следовательно, для  $\epsilon \approx 4$  МэВ получаем  $\sigma_{FP} \geq 0.16 \cdot 10^{-24}$  см<sup>2</sup>. Аналогично для кремния, облученного электронами  $\epsilon \approx 1$  МэВ, используя  $v_A = 0.1$  см<sup>-1</sup>, получаем  $\sigma_{FP} \geq 2 \cdot 10^{-24}$  см<sup>2</sup>.

## Выходы

При энергии  $\alpha$ -частиц 4 МэВ и интенсивности  $2.5 \cdot 10^6$  см<sup>-2</sup> · с<sup>-1</sup> в интервале температур 170–300 К концентрация вакансий в  $n$ -кремнии с удельным сопротивлением больше 10 Ом · см определяется не аннигиляцией пар Френкеля, а их взаимодействием с примесями и дефектами структуры. При этом константа взаимодействия вакансий с атомарным кислородом слабо зависит от температуры.

## СПИСОК ЛИТЕРАТУРЫ

- [1] Л. С. Берман, А. Д. Ременюк, В. Б. Шуман. ФТП, 15, 1155 (1981).
- [2] Л. С. Берман, А. М. Маляренко, А. Д. Ременюк, В. Л. Суханов, М. Г. Толстобров. ФТП, 22, 844 (1988).
- [3] Н. В. Кузнецов, В. Н. Филатов, В. Г. Виноградова. ФТП, 21, 609 (1987).
- [4] В. В. Караваев, Н. В. Кузнецов, В. Н. Филатов. ФТП, 24, 1234 (1990).
- [5] Е. М. Вербицкая, В. К. Еремин, А. М. Иванов, Е. С. Игнатенко, Н. Б. Строкан, Й. Барани, Б. Шмидт. ФТП, 25, 852 (1991).
- [6] В. И. Губская, П. В. Кучинский, В. М. Ломако, А. П. Петрунин. ФТП, 19, 532 (1985).
- [7] H. Indusekar, V. Kermar, D. Sengupta. Phys. St. Sol. (a), 93, 645 (1986).
- [8] D. V. Lang. J. Appl. Phys., 45, 3023 (1974).
- [9] Л. С. Берман, А. Д. Ременюк, М. Г. Толстобров. Препринт ФТИ № 974 (1985).
- [10] Л. С. Берман. Введение в физику варикапов, 180. Л. (1968).
- [11] В. К. Еремин, А. М. Иванов, Н. Б. Строкан, Е. В. Шокина. ФТП, 23, 1613 (1989).
- [12] L. I. Murin. Phys. St. Sol. (a), 93, K147 (1986).
- [13] C. A. Londes. Japan. J. Appl. Phys., 27, 2089 (1988).
- [14] Л. С. Берман, В. А. Жепко, В. Н. Ломасов, В. Н. Ткаченко. ФТП, 23, 2129 (1989).
- [15] П. В. Кучинский, В. Н. Ломако, Л. Н. Шахлевич. ФТП, 22, 1213 (1988).
- [16] G. E. Jellinson. J. Appl. Phys., 53, 5715 (1982).
- [17] А. Г. Абдусаттаров, В. В. Емцев, Т. В. Машовец. ФТП, 20, 164 (1986).
- [18] А. Г. Абдусаттаров, В. В. Емцев, Т. В. Машовец. ФТП, 23, 2221 (1989).
- [19] V. A. Khramtsov, V. N. Lemasov, Ya. Ya. Pilkevich, M. P. Vlasenko, L. S. Vlasenko. Phys. St. Sol. (a), 109, 127 (1988).
- [20] Л. С. Смирнов. Физические процессы в облученных полупроводниках, 127. Новосибирск (1977).
- [21] В. В. Емцев, Т. В. Машовец. Примеси и точечные дефекты в полупроводниках, 248. М. (1981).
- [22] S. D. Brotherton, R. Bradley. J. Appl. Phys., 53, 5720 (1982).
- [23] L. V. Song, X. D. Zhan, B. V. Benson, G. D. Watkins. Phys. Rev. Lett., 60, 460 (1988).
- [24] Y. H. Lee, L. J. Ceng, J. D. Gerson, P. M. Moscley, J. W. Corbett. Sol. St. Commun., 21, 109 (1977).
- [25] M. T. Asom, J. I. Benton, R. Sauer, L. C. Kimerling. Appl. Phys. Lett., 51, 256 (1987).

Редактор Т. А. Полянская